

- [11] Бойко И. И., Жадъко И. П., Рашба Э. И., Романов В. А. // ФТП. 1965. Т. 7. В. 7. С. 2239—2242.
- [12] Welker H. // Z. Naturforsch. 1951. V. 6A. N 1. P. 184—191.
- [13] Грибников З. С., Жадъко И. П., Романов В. А., Сердега Б. К. // УФЖ. 1970. Т. 15. В. 2. С. 300—314.
- [14] Gribnikov Z. S., Lomova G. I., Romanov V. A. // Phys. St. Sol. 1968. V. 28. N 2. P. 815—825.

Институт полупроводников  
АН Украины  
Киев

Получено 12.05.1991  
Принято к печати 31.07.1991

ФТП, том 26, вып. 2, 1992

## ШУМ ДЕФЕКТОВ ОБРАТНО СМЕЩЕННЫХ $n^+$ — $p$ -ПЕРЕХОДОВ НА ОСНОВЕ $Cd_xHg_{1-x}Te$

Андрюхив М. Г., Белотелов С. В., Вирт И. С., Шкумбатюк П. С.

Исследование и интерпретация шумов в  $n$ — $p$ -переходах на основе  $Cd_xHg_{1-x}Te$  являются собой задачу, важную как с точки зрения физических явлений, связанных с флуктуациями параметров в твердых телах, так и в связи с их практическим применением. Это определяется, во-первых, применением приборов из данного материала для регистрации слабых сигналов; во-вторых, в связи с многообразием собственных структурных дефектов представляет интерес идентификация источников шумов [1]. Одной из основных задач в исследовании шумов является интерпретация низкочастотных шумов типа  $f^{-\gamma}$  (где  $f$  — частота,  $\gamma$  — показатель, который находится в пределах 0.8—1.2). Предполагается, что в  $n$ — $p$ -переходах низкочастотный шум может определяться различными физическими механизмами [2]. На спектр низкочастотного шума также может накладываться шум в виде нерегулярных импульсов — «взрывной» шум [3].

В настоящей работе исследовались шумы в  $n^+$ — $p$ -переходах на основе  $Cd_xHg_{1-x}Te$  ( $x=0.2$ ), подвергнутых низкотемпературному отжигу в интервале температур 25—100 °C. Переходы создавались имплантацией ионов бора с энергией 100 кэВ и имели размеры рабочей площадки  $50 \times 50$  мкм. Спектр шумов регистрировался при температуре 77 К в области частот  $10^2$ — $10^7$  Гц. Одновременно измерялись и вольт-амперные характеристики.

Независимость обратного тока насыщения в  $n^+$ — $p$ -переходах от приложенного напряжения, а также экспоненциальное следование прямого тока ( $I_{np}$ ) с показателем экспоненты  $\beta \approx 1$  [ $I_{np} = I_s \exp(qU/\beta kT)$ ,  $I_s$  — ток насыщения] указывают на диффузионную природу темновых токов. Спектр шума исходных структур, измеренных при  $U_{обр}=0.1$  В ( $I_{обр}=1.2 \cdot 10^{-5}$  А), характеризуется низкочастотной компонентой с  $\gamma \approx 1.1$ , простирающейся до частоты  $f \leq 3 \cdot 10^4$  Гц, и генерационно-рекомбинационной (ГР) составляющей в области частот (3—60)· $10^4$  Гц (рис. 1). Необходимо отметить, что существует также связь между значением параметра  $\gamma$  и величиной приложенного напряжения. При  $U \approx kT/e$   $\gamma$  обычно составляет 1.0—1.2, а при  $U \gg kT/e$   $\gamma \approx 1.0—0.8$ .

Отжиг структур при температуре 60 °C на протяжении 24 ч приводит к появлению зависимости величины  $I_{обр}$  от напряжения (рис. 2, кривая 2), причем показатель  $\beta$  в выражении для  $I_{np}$  не изменяется. В спектре шума в отожженной структуре низкочастотная компонента изменяется с частотой, как  $f^{-0.71}$ , ГР компонента при отжиге исчезает. Дальнейший отжиг ( $t=80$  °C) уменьшает

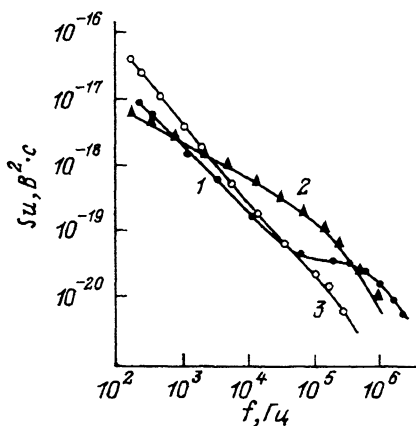


Рис. 1. Спектральные зависимости шумов  $n^+$ - $p$ -структур на основе  $\text{Cd}_{0.2}\text{Hg}_{0.8}\text{Te}$ .

1 — исходная структура, 2 — после отжига при температуре  $60^\circ\text{C}$ , 3 — после отжига при температуре  $80^\circ\text{C}$ .

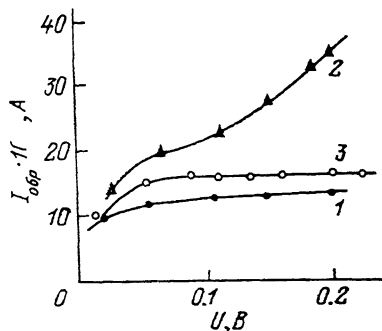


Рис. 2. Обратные ветви вольт-амперных характеристик  $n^+$ - $p$ -структур на основе  $\text{Cd}_{0.2}\text{Hg}_{0.8}\text{Te}$ .

1 — исходная структура, 2 — после отжига при температуре  $60^\circ\text{C}$ , 3 — после отжига при температуре  $80^\circ\text{C}$ .

обратный темновой ток по величине, а также он становится менее зависимым от напряжения; спектр низкочастотного шума изменяется с частотой, как  $f^{-1.20}$ .

Факт изменения характера ВАХ и спектра шумов связан, по-видимому, с отжигом радиационных дефектов, возникающих в процессе имплантации ионов  $\text{B}^+$  [4]. На последующем этапе отжига происходит внедрение атомов примеси в решетку кристалла (активация). Исчезновение ГР компоненты шума в отожженных структурах свидетельствует о том, что он определялся дефектами, присутствующими только в исходных структурах, представляет собой избыточный шум. Изменение показателя  $\gamma$  может указывать на наложение мощностей шума от различных источников (вероятно, структурных дефектов) в низкочастотной области спектра.

Таким образом, поведение структурных дефектов, которые возникают в процессе ионной имплантации при изготовлении  $n^+$ - $p$ -структур на основе  $\text{Cd}_x\text{Hg}_{1-x}\text{Te}$ , может определять как величину ГР шумов, так и характер частотной зависимости низкочастотного шума.

#### Список литературы

- [1] Бакши И. С., Гринь В. Г., Караваевцева Л. А., Кодалашвили М. З., Сальков Е. А., Хижняк Б. И. // ФТП. 1989. Т. 23. В. 3. С. 571—573.
- [2] Van der Ziel A., Fang P., He L., Wu H. L., Rheeinen A. D., Handel R. H. // J. Vac. Sci. Techn. 1989. V. A7. N 2. P. 550—554.
- [3] Астахов В. П., Дудкин В. Ф., Кернер Б. С., Осипов В. В., Смолин О. В., Таубкин И. И. // Микроэлектроника. 1989. № 5. С. 455—463.
- [4] Водопьянов Л. К., Козырев С. П., Спицын А. В. // ФТП. 1982. Т. 16. В. 5. С. 782—787.

Дрогобычский государственный педагогический  
институт им. И. Франко

Получено 10.07.1991  
Принято к печати 5.09.1991